

Рис. 3.57.

## «СПОРТ-2»

(Выпуск 1966 г.)

### ОСНОВНЫЕ ТЕХНИЧЕСКИЕ ДАННЫЕ

Радиоприемник «Спорт-2» (рис. 3.57) представляет собой супергетеродин III класса переносного типа, собранный на восьми транзисторах.

Радиоприемник предназначен для приема передач радиовещательных станций с амплитудной модуляцией в диапазонах длинных, средних и коротких волн на две внутренние магнитные антенны. Диапазон коротких волн разделен на два поддиапазона:

KB I 25—31 м (9,36—12,1 МГц) и  
KB II 41—75 м (3,95—7,4 МГц)

Максимальная чувствительность:

на длинных волнах . . . . .	500 мкв/м
на средних волнах . . . . .	200 мкв/м
на коротких волнах . . . . .	70 мкв/м

Реальная чувствительность:

на длинных волнах . . . . .	1,5 мв/м
на средних волнах . . . . .	0,6 мв/м
на коротких волнах . . . . .	0,3 мв/м

Избирательность по соседнему каналу:

на длинных и средних волнах . . . . .	не хуже 46 дБ
на коротких волнах . . . . .	465 кГц

Ослабление сигнала зеркального канала:

на длинных волнах . . . . .	не хуже 30 дБ
на средних волнах . . . . .	не хуже 26 дБ
на коротких волнах . . . . .	не хуже 14 дБ

Промежуточная частота . . . . .

Действие АРУ: при изменении сигнала на

входе приемника на 26 дБ изменение сигнала на выходе приемника . . . . .  
Полоса воспроизводимых звуковых частот . . . . .  
Номинальная выходная мощность при коэффициенте нелинейных искажений всего тракта усиления приемника не более 6% .  
Ток, потребляемый приемником при отсутствии сигнала . . . . .  
Источник питания: четыре элемента типа 316  
Напряжение питания . . . . .  
Работоспособность приемника сохраняется при снижении напряжения батарей питания .  
Длительность работы приемника при средней громкости от одного комплекта батарей .  
Габаритные размеры . . . . .  
Масса . . . . .

не более 6 дБ  
300—3500 Гц  
100 мвт  
не более 10 ма  
6 в  
до 3 в  
до 50 час  
215×117×48 мм  
1,0 кг

### ПРИНЦИПИАЛЬНАЯ СХЕМА

#### ВХОДНАЯ ЦЕПЬ

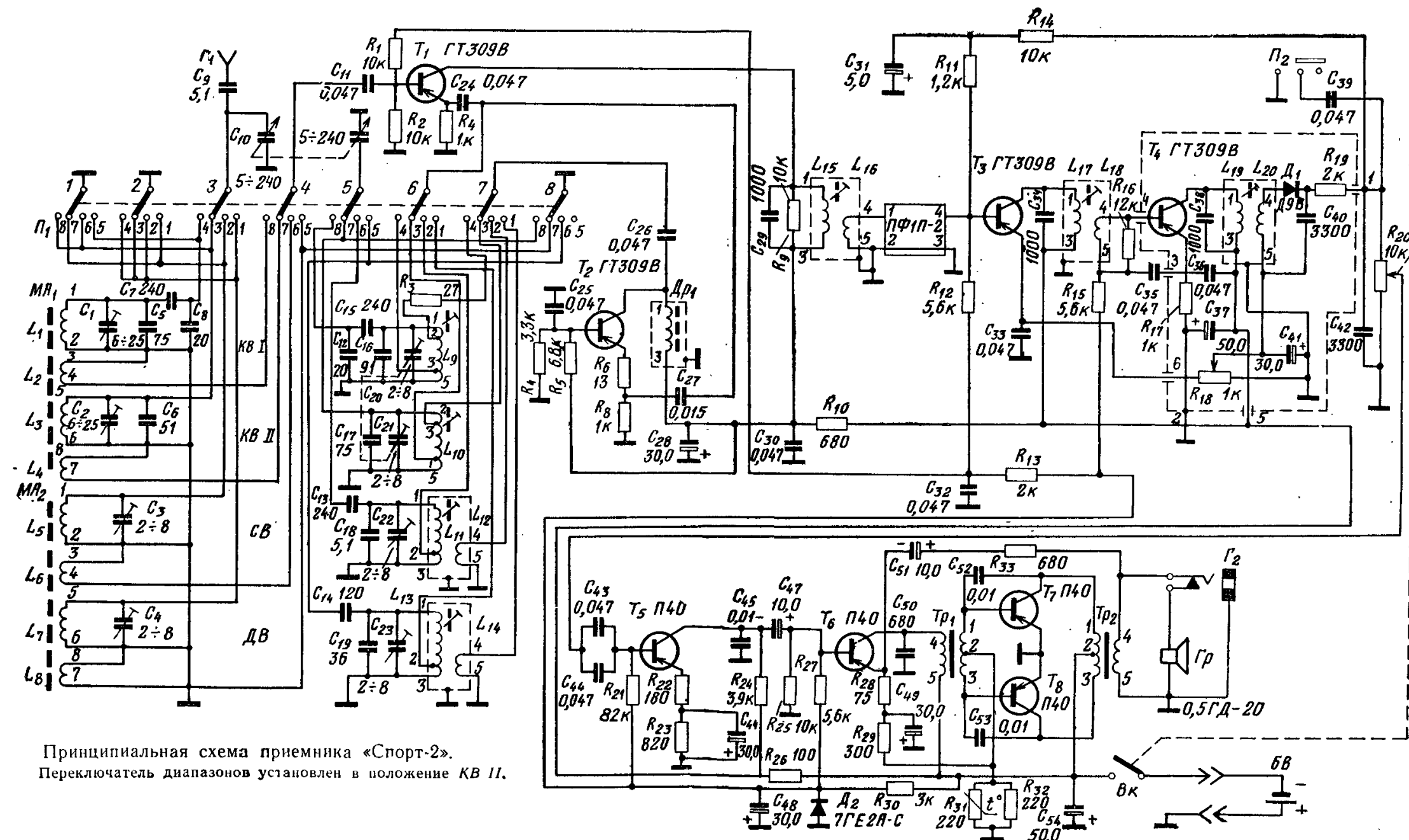
Катушки входных контуров и соответствующие им катушки связи размещены на двух ферритовых стержнях встроенных магнитных антенн  $MA_1$  и  $MA_2$  (рис. 3.58). Одна из магнитных антенн работает в диапазонах длинных и средних волн, а другая — в поддиапазонах коротких волн KB I и KB II. Так как ферритовые стержни расположены параллельно и близко один от другого, то для устранения влияния холостых катушек на работающие неактивные катушки входных контуров замыкаются накоротко. Связь входных контуров с базой транзистора  $T_1$  индуктивная. Наружная антenna к входным контурам на всех диапазонах подключается через конденсатор связи  $C_9$ .

#### ПРЕОБРАЗОВАТЕЛЬ ЧАСТОТЫ

Преобразователь частоты собран на транзисторах типа ГТ309В по схеме с отдельным гетеродином (транзистор  $T_1$  — смеситель,  $T_2$  — гетеродин). Гетеродин выполнен по схеме индуктивной трехточки. Неработающие катушки контуров гетеродина замыкаются накоротко, чтобы исключить в них собственные колебания, частота которых может оказаться равной одной из рабочих частот включенного диапазона. (Гетеродинная катушка ДВ замыкается накоротко при работе в диапазоне СВ, а катушка KB II — в поддиапазоне KB I.) Для устранения паразитных колебаний гетеродина, работающего в поддиапазоне KB I, включено сопротивление (резистор  $R_3$ ), разделяющее емкость коллекторного перехода транзистора  $T_2$  и индуктивность катушки гетеродина.

Оптимальное условие преобразования частоты выполняется при напряжении гетеродина на эмиттере транзистора  $T_1$  на диапазоне ДВ и СВ 90—130 мв, а на поддиапазонах KB I и KB II — 80—120 мв.

Нагрузкой смесителя частоты служит пьезокерамический фильтр (ПКФ) типа ПФ1П-2, которым обеспечивается избирательность по соседнему каналу. Фильтр ПФ1П-2 имеет ширину полосы пропускания 8—10 кГц на уровне —6 дБ. Для согласования выходного сопротивления транзистора  $T_1$  с входным сопротивлением ПКФ применен широкополосный контур  $L_{15}C_{29}$  с полосой пропускания 20—25 кГц на уровне —3 дБ. Максимальная чувствительность приемника по промежуточной частоте составляет 1,5—2,5 мкв при выходном напряжении на нагрузке усилителя НЧ 200 мв.



## УСИЛИТЕЛЬ ПЧ И ДЕТЕКТОР

Двухкаскадный усилитель промежуточной частоты собран на транзисторах  $T_3$  и  $T_4$  типа ГТ309В по резонансной схеме. В коллекторные цепи транзисторов включены широкополосные одноконтурные фильтры ПЧ  $L_{17}C_{34}$  и  $L_{18}C_{38}$ . Первый имеет ширину полосы пропускания 15—20 кГц, второй — 35—40 кГц на уровне — 3 дБ.

Устойчивость работы приемника при высокой чувствительности со входа и малых габаритных размерах печатной платы достигается полным экранированием второго каскада усилителя ПЧ и детектора.

Детектор приемника выполнен на диоде  $D_1$  типа Д9В. Для получения минимального коэффициента нелинейных искажений при наибольшем коэффициенте передачи детектора с помощью резистора  $R_{18}$ , включенного в цепь эмиттера транзистора  $T_3$ , подбирается (при настройке приемника) оптимальное напряжение смещения на диод  $D_1$ .

Нагрузкой детектора служит переменный резистор  $R_{20}$ , с которого сигнал звуковой частоты через конденсаторы  $C_{43}$ ,  $C_{44}$  подается на базу транзистора первого каскада усилителя НЧ. Для автоматической регулировки усиления используется постоянная составляющая тока диода  $D_1$ , с помощью которой регулируется базовый ток первого каскада усилителя ПЧ. Напряжение АРУ снимается с нагрузки детектора и через цепочку  $R_{14}C_{31}R_{11}$  подается на базу транзистора  $T_3$ . В цепи нагрузки детектора включен двухступенчатый регулятор тембра в области верхних звуковых частот (переключатель  $P_2$  и конденсатор  $C_{39}$ ).

## УСИЛИТЕЛЬ НИЗКОЙ ЧАСТОТЫ

Трехкаскадный усилитель низкой частоты выполнен на транзисторах  $T_5$ ,  $T_6$ ,  $T_7$ ,  $T_8$  типа П40. Первый каскад усилителя НЧ выполнен на транзисторе  $T_5$  с активной нагрузкой в цепи коллектора ( $R_{24}$ ). Для повышения входного сопротивления усилителя НЧ в первом каскаде применена отрицательная обратная связь по напряжению ( $R_{22}$ ).

Второй каскад усилителя НЧ построен на транзисторе  $T_6$ , в коллекторную цепь которого включен согласующий трансформатор  $T_{p1}$ . Выходной каскад усилителя НЧ выполнен по двухтактной схеме и работает в режиме усиления класса АВ.

Напряжение смещения на базы транзисторов  $T_7$  и  $T_8$  выходного каскада снимается с делителя, включенного в цепь эмиттера транзистора  $T_8$  предоконечного каскада, что позволяет получить малый ток покоя. Для температурной стабилизации выходного каскада усилителя НЧ служит терморезистор  $R_3$  типа СТ3-17. Два последних каскада усилителя НЧ охвачены частотонезависимой отрицательной обратной связью, напряжение которой снимается со вторичной обмотки выходного трансформатора и через цепочку  $R_{33}C_{51}$  подается на эмиттер транзистора  $T_8$ .

Коррекция частотной характеристики и устранение влияния фазового сдвига на высоких частотах осуществляются корректирующими конденсаторами  $C_{52}$  и  $C_{53}$ .

Особенностью схемы приемника «Спорт-2» является то, что для сохранения максимальной чувствительности, малого коэффициента нелинейных искажений, исключения искажений типа «ступенька» при снижении напряжения питания на 30% в приемнике предусмотрено питание базовых цепей всех транзисторов, кроме выходных, от стабилизатора напряжения. Стабилизация рабочей точки транзисторов выходного каскада обеспечивается тем, что напряжение смещения на базы транзисторов  $T_7$  и  $T_8$  создается током эмиттера транзистора  $T_6$ , стабилизированного по напряжению питания.

В стабилизаторе напряжения применен селеновый диод  $D_2$  типа 7ГЕ2А С, выходное напряжение стабилизатора — 1,5 в.

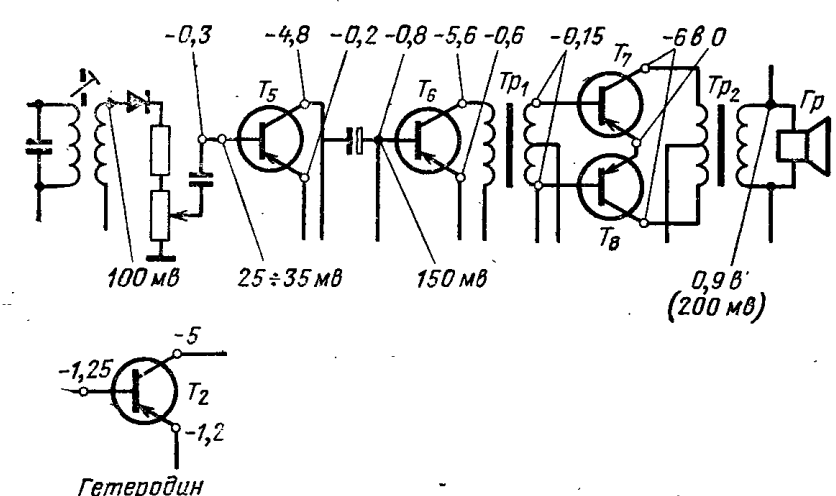
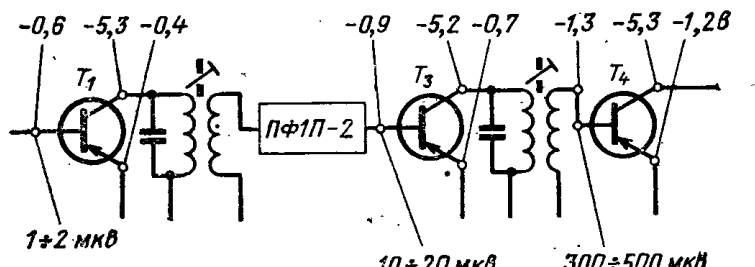


Рис. 3.59. Режимы работы транзисторов по постоянному току и уровни напряжения сигнала в тракте усиления приемника «Спорт-2».

Для устойчивой работы приемника в цепях питания включены развязывающие фильтры  $R_{10}C_{30}$ ,  $C_{32}R_{13}$ ,  $C_{28}R_{30}C_{48}$  и  $R_{26}C_{54}$ . Все каскады приемника имеют режимную и температурную стабилизацию, нормальная работа приемника обеспечивается в интервале температур от  $-10$  до  $+45^{\circ}\text{C}$ . Режимы работы транзисторов указаны на рис. 3.59. В приемнике предусмотрена возможность подключения малогабаритного телефона типа ТМ-2М. При включении телефона громкоговоритель автоматически отключается.

## КОНСТРУКЦИЯ И ДЕТАЛИ

Корпус приемника выполнен из цветного ударопрочного полистирола. Органы управления (ручки грубой и плавной настройки приемника, регулятора громкости с выключателем питания, переключателя диапазонов, регулятора тембра), гнезда для подключения телефона  $\Gamma_2$  и наружной антенны  $\Gamma_1$  расположены на боковых сторонах приемника. Шкала приемника, проградуированная в метрах, расположена на передней панели. В задней крышке приемника имеется отсек для четырех элементов питания типа 316, которые устанавливаются в специальную кассету.

В корпусе приемника укреплены громкоговоритель и алюминиевая рама шасси с печатной платой. Монтаж приемника выполнен на печатной плате, изготовленной из фольгированного гетинакса.

Схема расположения узлов и деталей на печатной плате показана на рис. 3.60, а топографическая схема — на рис. 3.61.

Таблица 3.9

## Намоточные данные контурных катушек приемника «Спорт-2»

Наименование катушек	Обозначение по схеме	Номера выводов	Марка и диаметр провода, мм	Число витков	Индуктивность, мкГн
Антенная ДВ . . .	$L_7$	5—6	ПЭВТЛ 0,12	$66 \times 4$	$5300 \pm 10\%$
Катушка связи . . .	$L_8$	7—8	ПЭВТЛ 0,12	22,5	—
Антенная СВ . . .	$L_5$	1—2	ПЭВТЛ 0,12	74 (шаг 0,5 мм)	$410 \pm 15\%$
Катушка связи . . .	$L_6$	3—4	ПЭВТЛ 0,12	4	—
Антенная КВ I . . .	$L_1$	1—2	ПЭВТЛ 0,41	4 (шаг 4 мм)	$1,1 \pm 10\%$
Катушка связи . . .	$L_2$	3—4	ПЭВТЛ 0,15	2,5	—
Антенная КВ II . . .	$L_3$	5—6	ПЭВТЛ 0,41	9,5 (шаг 1,5 мм)	$5,4 \pm 10\%$
Катушка связи . . .	$L_4$	7—8	ПЭВТЛ 0,15	4	—
Гетеродинная ДВ . . .	$L_{13}$	1—3	ПЭВТЛ 0,09	$49 \times 3$	$480 \pm 10\%$
Катушка связи . . .	$L_{14}$	2—3	ПЭВТЛ 0,12	3	—
Гетеродинная СВ . . .	$L_{11}$	4—5	ПЭВТЛ 0,12	10	—
Катушка связи . . .	$L_{12}$	1—3	ЛЭ 3×0,06	$(31 \times 2) + 29$	$190 \pm 10\%$
Гетеродинная КВ I . . .	$L_{10}$	2—3	ПЭВТЛ 0,12	2	—
. . .		3—5	ПЭВТЛ 0,23	8	—
. . .		1—2	ПЭВТЛ 0,23	5,1	$1,3 \pm 10\%$
. . .		—	—	8,1	—
. . .		—	—	0,5	—
. . .		—	—	(шаг 0,3 мм)	—
Гетеродинная КВ II . . . . .	$L_9$	2—3	ПЭВТЛ 0,23	11,1	$4,0 \pm 10\%$
. . . . .		3—1	—	16,8	—
. . . . .		1—5	—	0,7	—
. . . . .		—	—	(шаг 0,3 мм)	—
ФПЧ-1 . . . . .	$L_{15}$	1—3	ПЭВТЛ 0,12	$35 \times 2$	$120 \pm 10\%$
Катушка связи . . . . .	$L_{16}$	4—5	ПЭВТЛ 0,12	35	—
ФПЧ-2 . . . . .	$L_{17}$	1—3	ПЭВТЛ 0,12	$35 \times 2$	$120 \pm 10\%$
Катушка связи . . . . .	$L_{18}$	4—5	ПЭВТЛ 0,12	15	—
ФПЧ-3 . . . . .	$L_{19}$	1—3	ПЭВТЛ 0,12	$35 \times 2$	$120 \pm 10\%$
Катушка связи . . . . .	$L_{20}$	4—5	ПЭВТЛ 0,12	$20 + 60$	—
Дроссель . . . . .	$Dp$	1—3	ПЭВТЛ 0,12	$20 \times 3$	$100 \pm 10\%$

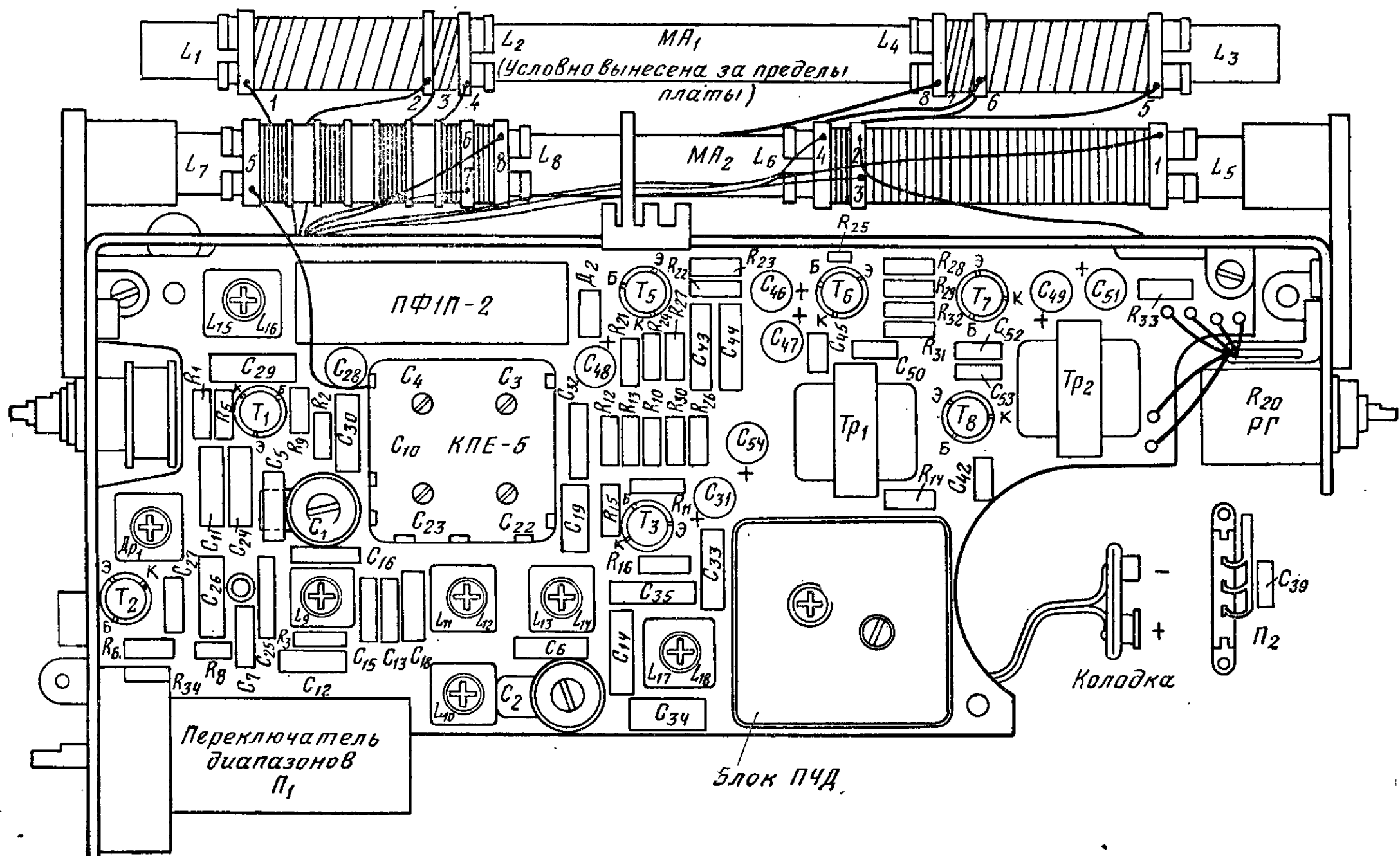
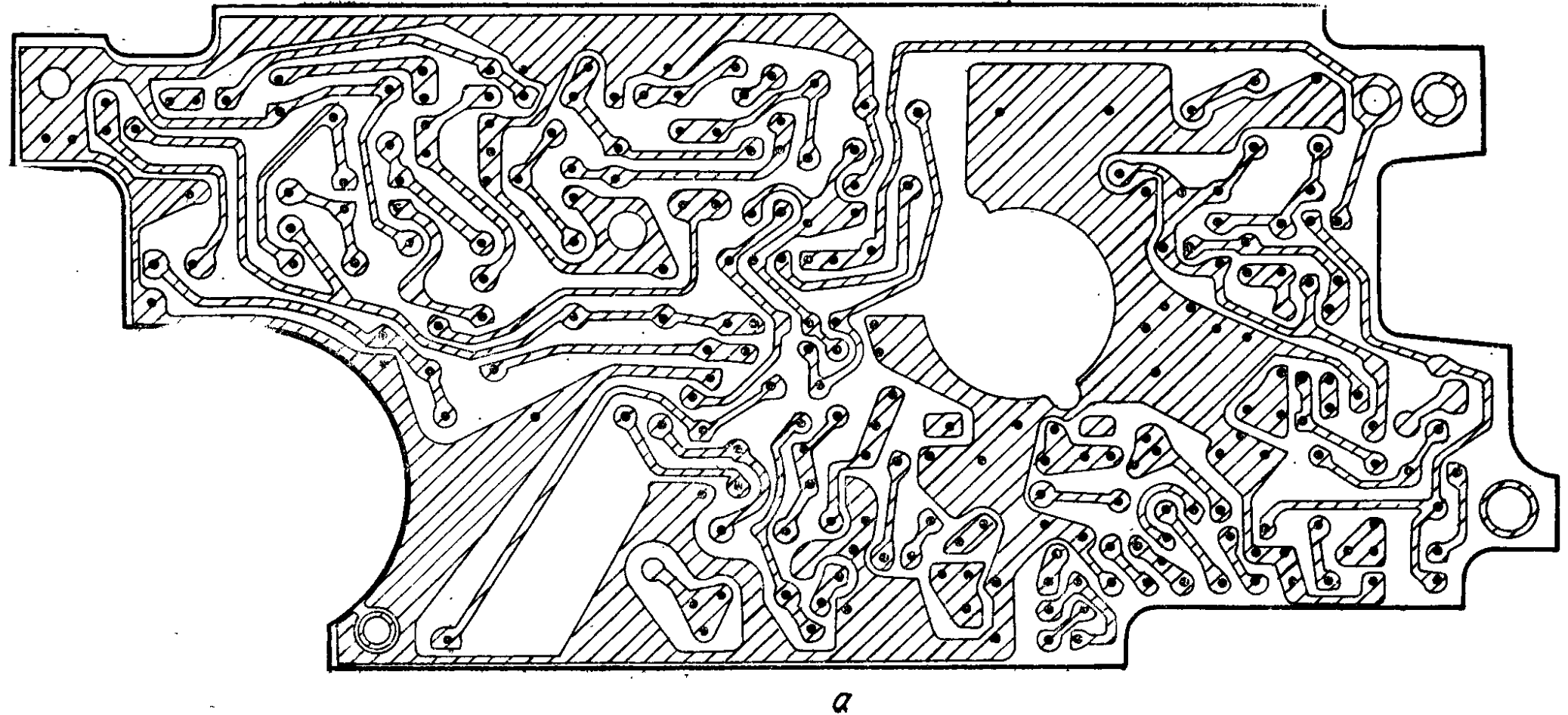
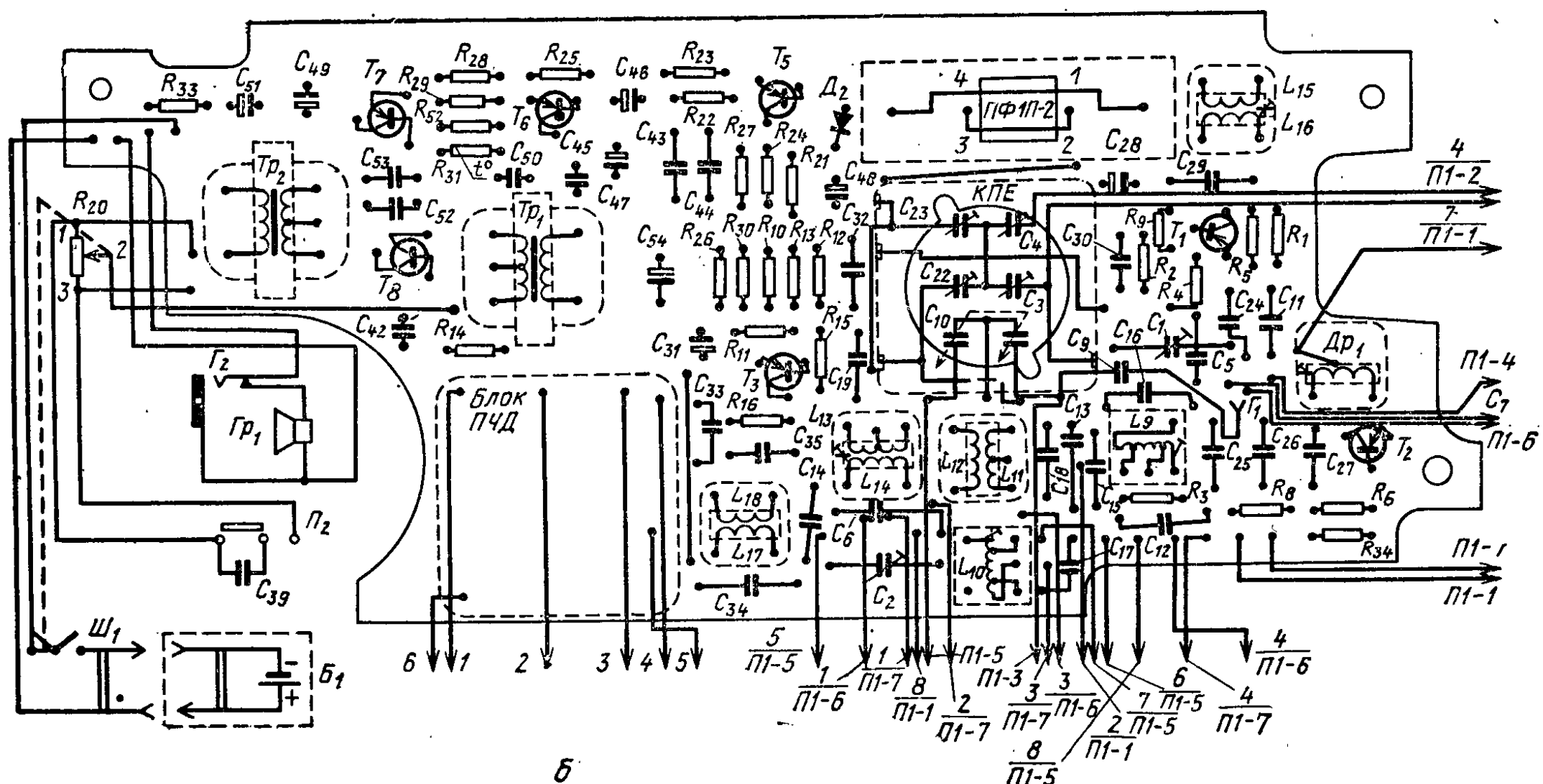


Рис. 3.60. Схема расположения узлов и деталей на печатной плате приемника «Спорт-2»



*a*



*b*

Рис. 3.61. Печатная плата приемника «Спорт-2» (а) и расположение основных деталей (б).  
Вид со стороны печати.

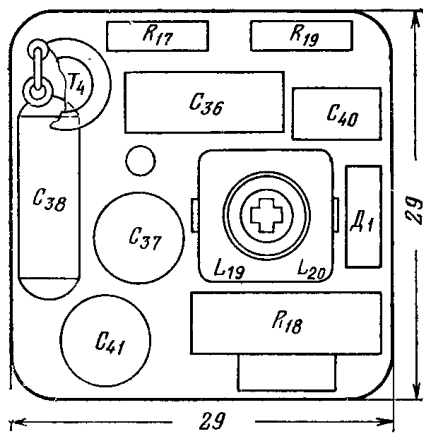


Рис. 3.62. Схема расположения узлов и деталей на печатной плате блока ПЧД приемника «Спорт-2»

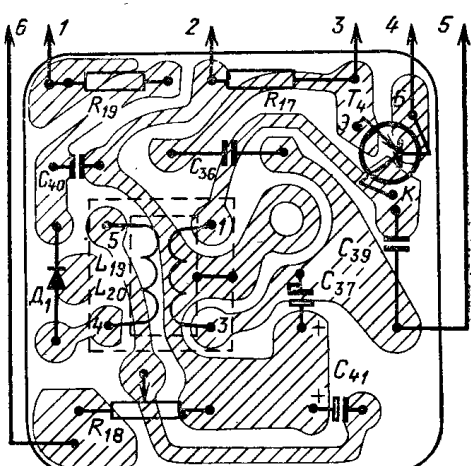


Рис. 3.63. Топографическая схема блока платы ПЧД приемника «Спорт-2»

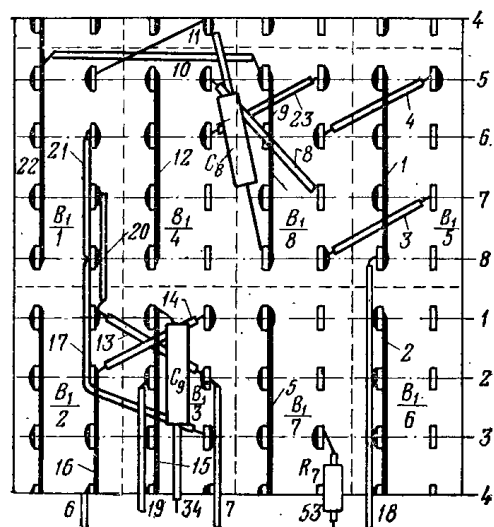


Рис. 3.64 Схема распайки переключателя диапазонов приемника «Спорт-2».

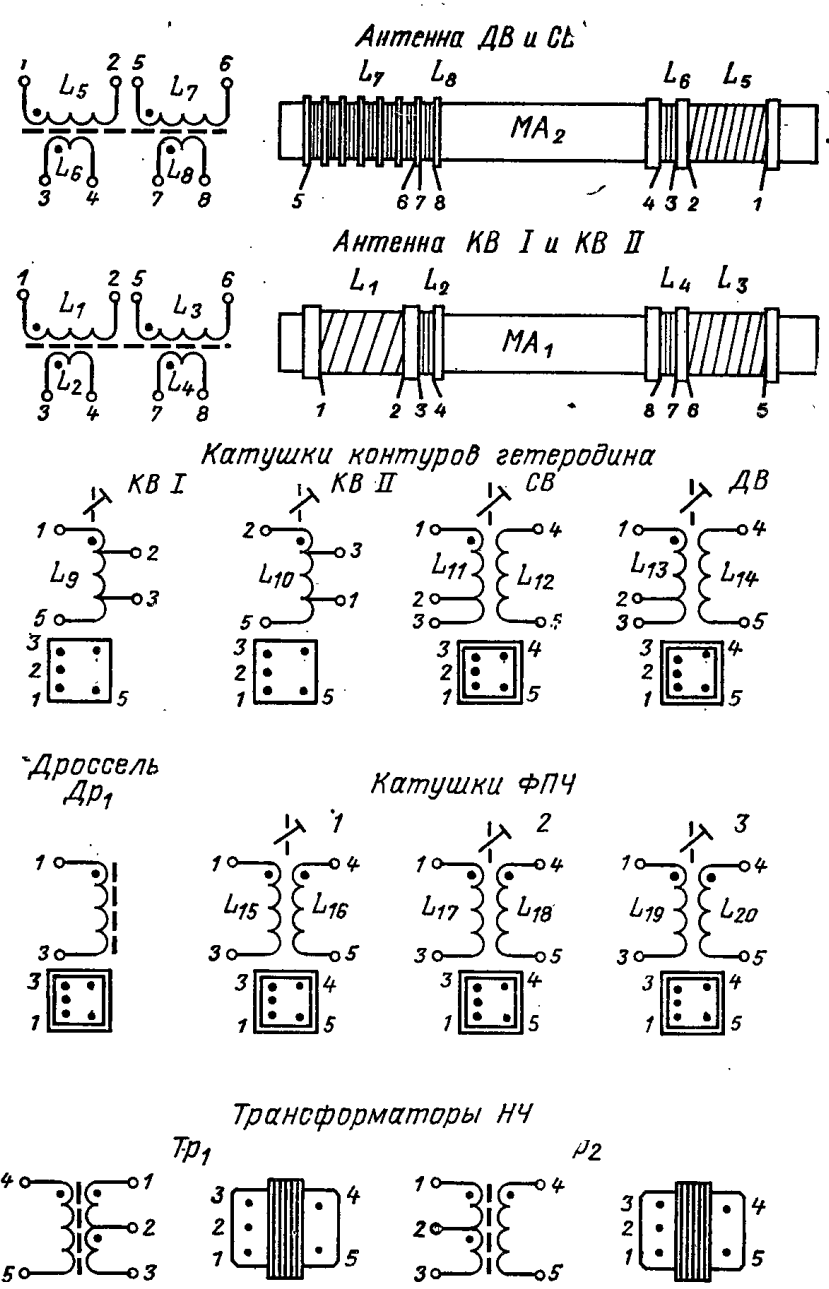


Рис. 3.65. Распайка выводов (вид снизу) катушек контуров и трансформаторов НЧ приемника «Спорт-2».

Второй каскад усилителя ПЧ и детектор смонтированы на отдельной печатной плате в виде самостоятельного блока ПЧД, закрытого латунным экраном. После настройки и проверки основных параметров блок ПЧД устанавливается на общую печатную плату приемника (рис. 3.62; 3.63).

В приемнике применен громкоговоритель типа 0,5ГД-20. Настройка приемника на частоту принимаемой радиостанции осуществляется с помощью блока конденсаторов переменной емкости типа КПЕ-5 емкостью 5—240 пФ.

Плавная и точная настройка приемника осуществляется с помощью верньерного устройства, обеспечивающего замедление 1 : 20. Переключатель диапазонов — галетный типа П2Г, имеет восемь направлений, на четыре положения (ДВ, СВ, КВ I и КВ II). Распайка контактов переключателя показана на рис. 3.64. Магнитная антенна диапазонов ДВ и СВ выполнена на ферритовом стержне марки 600НН, а антенна коротких волн — на ферритовом стержне марки 150ВЧ. Длина стержней 160 мм, диаметр 8 мм.

Катушки входных контуров и соответствующие им катушки связи намотаны на полистирольных каркасах. Катушки контуров гетеродина КВ намотаны на цилиндрических каркасах диаметром 5 мм и длиной 15 мм, а гетеродинные катушки диапазонов ДВ, СВ и катушки ФПЧ — на трехсекционных каркасах, каждый из которых помещен в чащечки из феррита 600НН диаметром 8,6 мм. Настройка контуров коротких волн осуществляется карбонильными сердечниками длиной 11,5 мм с резьбой М4, а контуров ФПЧ, гетеродина ДВ и СВ — сердечниками из феррита марки 600НН. Намоточные данные контурных катушек приведены в табл. 3.9. Трансформаторы усилителя НЧ по конструкции одинаковы. Сердечники их собраны из пластин пермаллоя 50Н типа Ш4, толщина набора 6 мм. Намоточные данные трансформаторов  $T_{p_1}$  и  $T_{p_2}$  приведены в табл. 9.3 и 9.4.

Распайка выводов всех контуров катушек и трансформаторов НЧ показана на рис. 3.65.

В приемнике применены детали следующих типов:

резистор  $R_{20}$  — типа СПЗ-4в,  $R_{18}$  — типа СПЗ-1а,  $R_{31}$  — типа СТЗ-17, остальные резисторы — типа УЛМ-0,12;

конденсаторы  $C_5$  —  $C_9$ ,  $C_{12}$  —  $C_{19}$  — типа КТ-1а,  $C_{29}$ ,  $C_{34}$ ,  $C_{38}$  — типа ПМ-1,  $C_1$ ,  $C_2$ ,  $C_{20}$ ,  $C_{21}$  — типа КТ4-2,  $C_{11}$ ,  $C_{24}$  —  $C_{27}$ ,  $C_{30}$ ,  $C_{32}$ ,  $C_{33}$ ,  $C_{35}$ ,  $C_{36}$ ,  $C_{39}$ ,  $C_{40}$ ,  $C_{42}$ ,  $C_{43}$ ,  $C_{44}$ ,  $C_{45}$ ,  $C_{60}$ ,  $C_{52}$ ,  $C_{53}$  — типа К10-7в,  $C_{28}$ ,  $C_{31}$ ,  $C_{37}$ ,  $C_{41}$ ,  $C_{46}$ ,  $C_{47}$ ,  $C_{48}$ ,  $C_{49}$ ,  $C_{51}$ ,  $C_{54}$  — типа К50-6;  $C_3$ ,  $C_4$ ,  $C_{22}$ ,  $C_{23}$  — подстроочные конденсаторы КПЕ;  $C_{10}$  — блок КПЕ.